

		$S, \frac{\text{мкВ}}{\text{К}}$	$\sigma, \frac{1}{\text{Ом} \cdot \text{см}}$	$R_x \cdot 10^3, \frac{\text{см}^3}{\text{Кл}} (N, \text{ см}^{-3})$	$\omega_p, \text{ см}^{-1}$	$\tau \cdot 10^{14}, \text{ с}$	$\frac{m^*}{m_e}$
$\text{CrSi}_2$	$\perp C$	106	2500	7.5—7.6	1350	0.9—1.0	1.0—1.1
	$\parallel C$	60	1300	( $10^{21}$ )	802	2.0—2.2	3—4
$\text{CrSi}_2<\text{Al}>$	$\perp C$	86	5200	4.2—4.6	2360	0.7—1.0	0.6—1.0
	$\parallel C$	32	2000	( $1.7 \cdot 10^{21}$ )	1190	0.9—1.2	2.6—3.1
$\text{CrSi}_2<\text{Cu}>$	$\perp C$	71	4400	3.9—4.3	2480	0.5—0.7	0.6—0.9
	$\parallel C$	25	1230	( $1.8 \cdot 10^{21}$ )	1303	0.6—0.7	1.8—2.6

того, чтобы сделать вывод о том, отличаются ли зависимости энергии от волнового вектора вдоль разных кристаллографических осей.

### Список литературы

- [1] Воронов Б. К., Дудкин Л. Д., Трусова Н. Н. // Кристаллография. 1967. Т. 12. № 3. С. 519—521.
- [2] Кайданов В. И., Целищев В. А., Усов А. П., Дудкин Л. Д., Воронов Б. К., Трусова Н. Н. // ФТП. 1970. Т. 4. № 7. С. 1338—1345.
- [3] Зайцев В. К., Федоров М. И., Тарасов В. И., Адилбеков А. // ФТП. 1977. Т. 19. № 6. С. 1707—1710.

Физико-технический институт  
им. А. Ф. Иоффе РАН  
Санкт-Петербург

Поступило в Редакцию  
17 декабря 1991 г.

© Физика твердого тела, том 34, № 5, 1992  
Solid State Physics, vol. 34, N 5, 1992

## ИССЛЕДОВАНИЕ РАДИАЦИОННЫХ И ТЕРМИЧЕСКИХ ДЕФЕКТОВ В $\text{SrTiO}_3$

Н. Н. Лебедева

В работе исследуется влияние восстановления и облучения быстрыми электронами (4 МэВ) на свойства  $\text{SrTiO}_3$ . В качестве исходных использовались нарезанные из одной були пластиинки, ориентированные вдоль [110]. Сопротивление исходных образцов  $\rho = 10^{11} \text{ Ом} \cdot \text{см}$ , область прозрачности при  $\lambda > 0.39 \text{ мкм}$ . Образцы облучались дозами  $\Phi = 5 \cdot 10^{15} — 2 \cdot 10^{17} \text{ эл}/\text{см}^2$  при 300 К. Восстановление проводилось в вакууме  $10^{-5} \text{ мм рт. ст.}$  при  $1100^\circ\text{C}$  от 10 до 120 мин. Окислительный отжиг восстановленных и облученных кристаллов проводился на воздухе в интервале  $50—700^\circ\text{C}$  изохронно (30 мин). Влияние восстановления на  $\rho$ , коэффициент поглощения ( $\alpha$ ) и фотолюминесценцию (ФЛ) рассмотрены в [1, 2].

При облучении  $\rho$  и  $\alpha$  оставались неизменными. Изменились они только при восстановлении, и характер этих изменений совпадает с описанным в литературе [3, 4]:  $\rho$  уменьшается в  $10^4—10^9$  раз, а в спектре поглощения появляются полосы при 2.9, 2.4, 2.1 эВ. На образцах с разной степенью восстановления рентгенограммы показали искажение кубической решетки, обусловленное потерей кислорода

Рис. 1. Спектры излучения и возбуждения ФЛ в  $\text{SrTiO}_3$ .

1, 2 и 3, 4 — исходный, 5 и 6 — восстановленный, 8, 9 и 7, 10 — облученный.

( $\text{SrTiO}_{2.5}$ ). Магнитная восприимчивость возрастает от 2.93 в исходном до  $3.42 \cdot 10^{-6}$  ед. СГС в сильно восстановленном образце.

ФЛ при восстановлении и облучении претерпевала различные изменения. На рис. 1 приведены спектры излучения и возбуждения ФЛ в исходном, восстановленном и облученном кристалле. В исходном наблюдались две полосы ФЛ, известные из литературы как решеточная ФЛ (видимая полоса) и излучение  $\text{Cr}^{3+}$ , входящего в решетку как неконтролируемая примесь (ИК-полоса). Обе полосы ФЛ обусловлены возбуждением октаэдра  $\text{TiO}_6$  [5, 6]. Для ИК полосы характерно полное ее тушение при самой слабой степени восстановления; интенсивность видимой полосы ФЛ растет. После облучения интенсивность видимой полосы уменьшается с ростом  $\Phi$  до 40 раз, а максимум спектра возбуждения смещается от 3.35 до 3.54 эВ. Спектр возбуждения ИК полосы после облучения также изменяется: растет интенсивность в максимуме полосы при возбуждении в коротковолновой части спектра возбуждения.

Известно, что для разрушения дефектов, наведенных в  $\text{SrTiO}_3$  при восстановлении, используется окислительный отжиг [7]. Для получения информации о природе дефектов, мы провели окислительный отжиг, результаты которого представлены рис. 2. Обозначим через  $\Delta\alpha$ ,  $\Delta I_{\text{ФЛ}}$ ,  $\Delta\rho$  — изменения (по отношению к исходному)  $\alpha$  при 2.9 эВ, интенсивности ИК и видимой полосы ФЛ и  $\rho$ , наступившие в результате восстановления или облучения. Примем эти значения за максимальные. Подвергнув такие кристаллы окислительному отжигу при температуре отжига  $T_0$ , возвращаем их в условия, где измерялись  $\alpha$ ,  $I_{\text{ФЛ}}$ ,  $\rho$ , определяем новые значения  $\Delta\alpha$ ,  $\Delta I_{\text{ФЛ}}$  и  $\Delta\rho$  и откладываем их на графике как соответствующие температуре отжига  $T_0$ . Уменьшение их означает восстановление исходных свойств, т. е. разрушение дефектов. Из рис. 2 видно, что отжиг при  $T_0 < 150^\circ\text{C}$  ни один из параметров не изменяет; с ростом  $T_0$  от 150 до 300 °C сводятся к нулю изменения в свойствах, которые произошли при восстановлении —  $\Delta\alpha$ ,  $\Delta I_{\text{ФЛ}}$  для ИК полосы и  $\Delta\rho$  — кривые 1—3 соответственно. Важно отметить, что дефекты, ответственные за окраску ( $\Delta\alpha$ ) и тушение ИК полосы ( $\Delta I_{\text{ФЛ}}$ ),

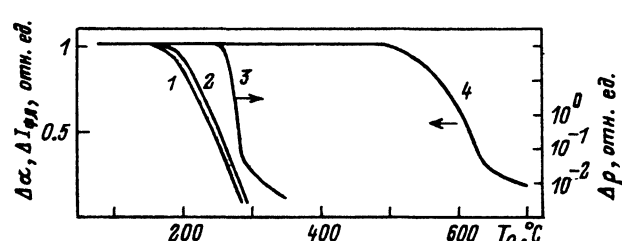
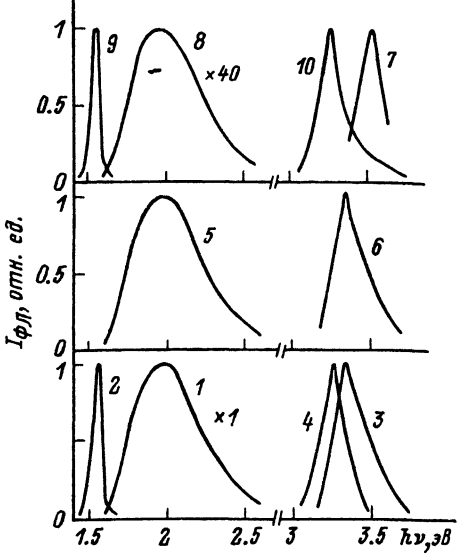


Рис. 2. Отжиг дефектов, наведенных восстановлением (1—3) и облучением (4).

Зависимости изменений: 1 — коэффициента поглощения при 2.9 эВ ( $\Delta\alpha$ ), 2 — интенсивности ИК полосы ФЛ ( $\Delta I_{\text{ФЛ}}$ ), 3 — сопротивления ( $\Delta\rho$ ), 4 — интенсивности видимой полосы ФЛ ( $\Delta I_{\text{ФЛ}}$ ) от температуры окислительного отжига.

отжигаются синхронно (кривые 1, 2), а дефекты, вызывающие изменения  $\rho$ , отжигаются при более высокой  $T_0$  (кривая 3). Это может свидетельствовать об образовании при восстановлении как минимум двух типов дефектов и об идентичности дефектов, вызывающих окраску кристаллов и тушение ИК полосы ФЛ. Кривая 4 характеризует процесс отжига радиационных дефектов, подавляющих излучение в видимой полосе ФЛ. Для разрушения этих дефектов требуются значительно большие энергии. Природа дефектов в восстановленном  $\text{SrTiO}_3$  широко обсуждается в литературе. Это дефекты типа  $\text{Ti}^{3+}$  [8, 9],  $\text{Fe}^{4+}$  и  $\text{Fe}^{3+}$  в комплексе с кислородной вакансией [10], вакансии кислорода, образующие мелкие доноры [3, 11], полярные состояния [12], центры окраски [13]. При нейтронном облучении образуется дефект  $\text{Ti}^{3+}$  на месте  $\text{Sr}^{2+}$  [14].

Из сложившихся представлений о природе дефектов в  $\text{SrTiO}_3$  и наших результатов можно делать следующие предположения. В исходных кристаллах отличная от нуля магнитная восприимчивость говорит о наличии магнитных ионов. Ими могут быть собственный дефект  $\text{Ti}^{3+}$  или  $\text{Fe}^{3+}$  и  $\text{Cr}^{3+}$ , замещающие  $\text{Ti}^{4+}$ . При восстановлении образцов  $\text{Fe}^{3+}$  переходит в  $\text{Fe}^{4+}$ , который является центром окраски в полосе 2.9 эВ и центром тушения ИК полосы ФЛ, перезахватывающим поток дырок, необходимый для возбуждения  $\text{Cr}^{3+}$ . За изменение  $\rho$  ответственны кислородные ваканции, обусловленные потерей кислорода при нагревании в вакууме, образующие донорные состояния.

В облученных кристаллах создаются точечные дефекты в результате выхода из узлов регулярных атомов. В октаэдре  $\text{TiO}_6$ , где возбуждается ФЛ, облучение электронами, вероятнее всего, действует на наиболее легкий ион кислорода. Дефект по кислороду деформирует октаэдр, что может оказаться и на энергии возбуждения, и на эффективности излучательного перехода в нем. Поскольку излучение в видимой и ИК полосах — процессы конкурирующие, то уменьшение интенсивности в видимой полосе приводит к росту излучения в ИК полосе.

#### Список литературы

- [1] Lebedeva N. N., Arushanov A. G., Pokasova N. S., Gadgiev M. S. // Ferroelectrics. 1988. V. 83. P. 141—145.
- [2] Lebedeva N. N., Arushanov A. G., Zeynally A. Kh. // Phys. B. 1989. V. 154. P. 209—213.
- [3] Frederikse P. H. // Phys. Rev. A. 1964. V. 134. N 2. P. A442—A445.
- [4] Wild R. L. // Phys. Rev. B. 1973. V. 13. N 8. P. 3828—3835.
- [5] Blasse G. // Mat. Res. Bull. 1963. V. 18. P. 525—528.
- [6] Feng T. // Phys. Rev. 1982. V. 25. N 2. P. 629.
- [7] Gandy H. H. // Phys. Rev. 1959. V. 113. N 3. P. 795—800.
- [8] Van Engelen P. P. // Phys. Lett. A. 1967. N 25. P. 733.
- [9] Кулагин Н. А., Литвинов Л. А. // УФЖ. 1981. Т. 26. С. 309.
- [10] Faughnan B. W. // Phys. Rev. B. 1976. N 4. P. 3623.
- [11] Morin E. J. // Phys. Rev. B. 1973. V. 8. N 12. P. 5847—5854.
- [12] Selme M. O., Pecheur P. J. // J. Phys. C. 1983. N 16. P. 2559.
- [13] Baer W. S. // Phys. Rev. 1966. V. 144. P. 734.
- [14] Schirmer O. F., Muller K. A. // Phys. Rev. B. 1973. V. 7. P. 2986.

Бакинский  
государственный университет

Поступило в Редакцию  
22 февраля 1991 г.  
В окончательной редакции  
18 декабря 1991 г.